

我国大陆活动断层锁住、解锁指标与 大震预报问题讨论

秦保燕 谭爱娜* 白建华

(国家地震局兰州地震研究所)

前 言

近几年来，随着对地震成因的深入研究，进一步提出了经过长期活动的活断层何以能锁住并孕育大震的问题。1985年郭增建提出了立交模式^[1]，解释了活动断层的重新锁住和相应的预报指标。1986年，郭增建、秦保燕对该模式作了进一步的完善^[2]，1987年郭增建、秦保燕、陈家超又提出了考虑地球自转的三层立交模式^[3]。至此，物理模式研究基本完成并在实际地震预报中作了应用，取得了一定效果。1988年秦保燕为了完善该模式提出了用三维粘弹多层地壳模型模拟计算深部剪切蠕滑断层对浅部断层的作用，白超英在秦保燕和宋惠珍的指导下完成了立交模式的模拟计算，计算结果表明立交模式成立。此外为了更系统地用地震资料对大震孕育、发震以及震后过程进行研究，从而使地震预报指标更为明确，提出了组合空区作为大震前地震异常活动的基本类型，并对大震前地震条带成因作了进一步的讨论。本文应用立交模式的基本原理对我国11次($M \geq 7.0$)大震从活动断层锁住直至发震这一过程所呈现的预报指标作了列举，并讨论了大震预报问题。

一、活动断层的锁住指标

根据立交模式的观点，活动断层的锁住指标是：

1. 活动构造的垂直立交区

在构造力源作用下在岩石圈下层会产生剪切蠕滑断层，当它通过活动断层底部且与之垂直立交时，可致使活动断层产生扭曲变形，从而使活动断层面形成凹凸啮合而闭锁，其相应的初定闭锁指标是深部滑移线诱发的短期、长距、直线式的震中迁移线与活动断层的交汇区，此交汇区即为立交区。图1是我国14次大震($M \geq 7.0$)区活动断层锁住指标图。对于某些特大地震，震前孕震断层下部还有多次剪切蠕滑线垂直通过，从而使断面上的凹凸区愈来愈大，形成巨大闭锁区，导致孕育巨震的条件，如1920年海原大震。

2. 活动断层锁住后形成的组合空区

由于活动断层面的差异，图1所反映的立交区不一定表明活动断层已被锁住，它必须进一步由组合空区来说明。因为活动断层锁住后在活动断层周围会产生一些地震活动，特别是孕震断层端部的调整单元、断面上的凹凸交界区，它们都是剪应力比较高的地区。由于孕震断层面凹凸区附近发震的调整能力低，因而地震强度会低于调整单元区，一般强度在5级以下。在凹凸区锁住的部位和影响区，由于调整能力很差而出现空区，而外围相对有中强震活动，这样就形成组合空区图象。限于篇幅，下面仅举一、二例作说明。

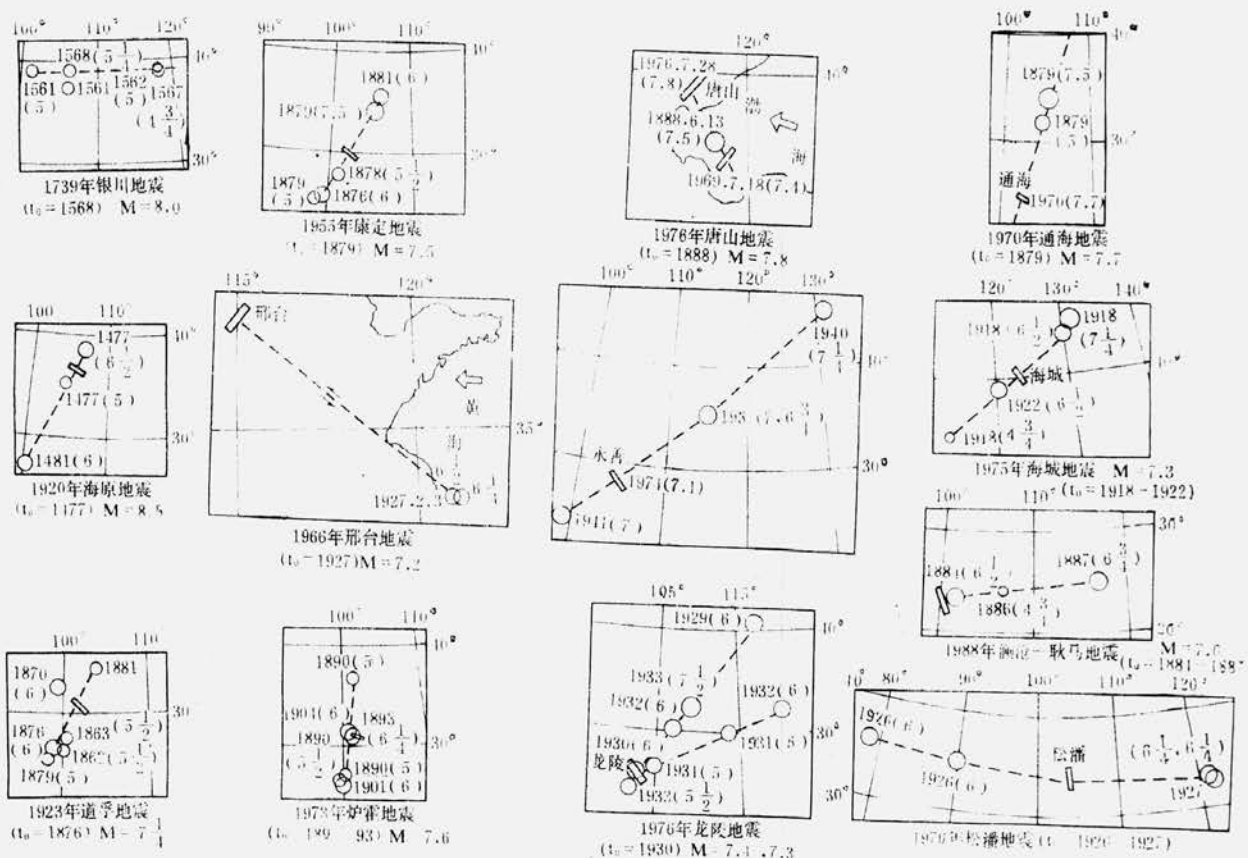


图1 14次大震 ($M \geq 7.0$) 前活动断层锁住指标图

(1) 唐山大震 唐山大震的发震构造为北东向。1888年渤海发生大震，推断该震的发震构造为北西向。地震时震源断层面所产生的大幅度错动可通过层间耦合传递到岩石圈下层并导致其产生北西方向的剪切蠕滑断层，它运动时又导致北东向的唐山活动断层发生扭曲变形而锁住，该断层锁住后其空区图像如图2所示。由图2可见，大震前唐山孕震断层的北东端和西南端均有明显的地震活动，而在锁住区亦有中强地震活动，很显然，这种图像比较符合断层面凹凸区锁住指标以及孕震断层端部调整单元的调整指标，前者为锁住区中最大剪切部位发生中、小地震活动，后者是调整单元运动导致震源端部剪应力集中引起中、小地震活动。

(2) 1920年12月16日海原8.5级地震 这次大震的发震构造为北西西向，在历史上曾有多次古地震在此段重复，因此这是一次典型的粘滑型地震。这次大震发生前北西西向活动断层在1477年被北北东向的深部剪切带锁住，此后沿南北地震带的多次活动导致北西西向孕震断层面形成巨大的凹凸啮合，从而形成巨震。考察活动断层锁住后的地震活动图像(图3)可以看出在北西西向的海原孕震断层上，震前震中区海原有活动，其两端调整单元——景泰

和固原有明显活动，且活动强度较大。这一图像是符合断层面凹凸区闭锁条件和断层端部单元的调整运动特征的。

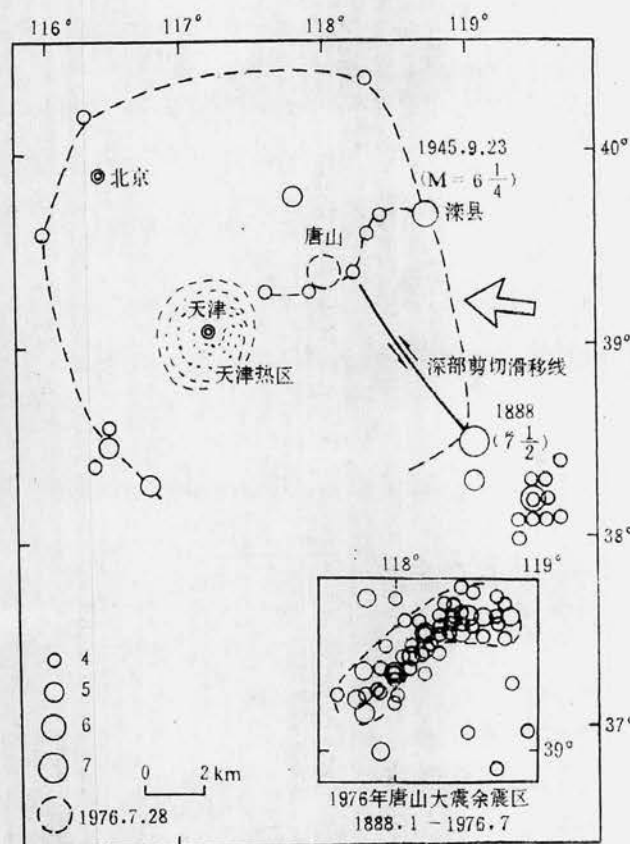


图2 唐山地震前断层闭锁后的组合空区图像(1888.1—1976.7.27)

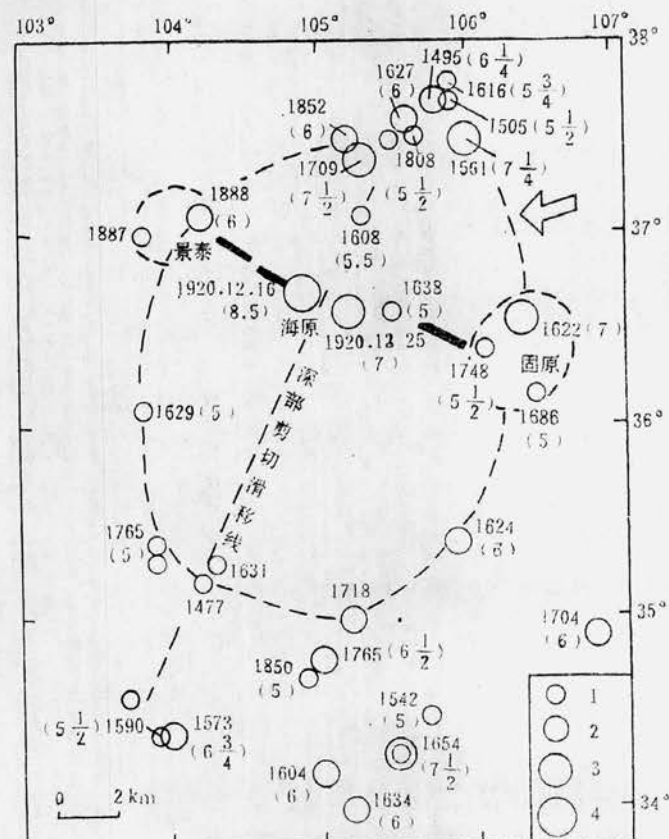


图3 1920年海原大震前组合空区图(1477.1—1920.11)

1. $M \geq 5$ 2. $M \geq 6$ 3. $M \geq 7$ 4. $M \geq 8$

关于地震空区曾被我国地震学者广泛研究过，郭增建和本文第一作者还曾根据中国西北地区大震前空区的持时建立了孕震时间T与震级的关系式：

$$M = 1.55 \lg T + 4.6 \quad (1)$$

式中T以年为单位，以往虽然对空区的成因进行过物理解释，但由于没有联系孕震断层凹凸体的存在以及在孕震过程中凹凸体的剪切变形、弱化等基本事实，因而对空区的成因解释是不完整的。根据立交模式的基本观点，应用组合空区取代目前的空区含义，比较合理。比较完整的空区成因应当是：

a. 活动断层锁住后出现组合空区图像，锁住开始时间即可作为孕震开始时间，因此空区的研究应当有起始时间。

b. 深部蠕滑断层与地壳上部活断层的垂直立交区即活断层凹凸区为剪切变形最强烈的地区，在震前该区一般有中、小地震活动。震时该区为始破裂区（震中区），它还可能是震前的预位移活动区。由此还可对粘滑型大震大多为双侧破裂型地震作出解释。

c. 活动断层面上重新形成凹凸区后由于断层两盘咬接很紧且毫无松动的可能，使变形受阻，提高了介质强度，从而造成地震空区而外围相对活跃。

d. 孕震断层端部是应力调整区，它将大区域的应力转移集中到孕震断层端部，因而震前调整区地震活动频度高，它是孕震断层孕震过程的反映。

应当指出的是由于孕震断层凹凸体剪切变形会导致中小地震活动，因而在勾画空区时会出现双空区图象，主震震中就位于双空区交界带上，很多主震多发生在空区边缘，这些都是地震孕育过程中形成组合空区图像的反映。此外必须强调锁住断层凹凸区和其调整单元的地震活动在预报大震中的重要作用。这里举1975年海城大震和1976年唐山大震两例来说明，图4和图5是陆远忠同志提供的空区。

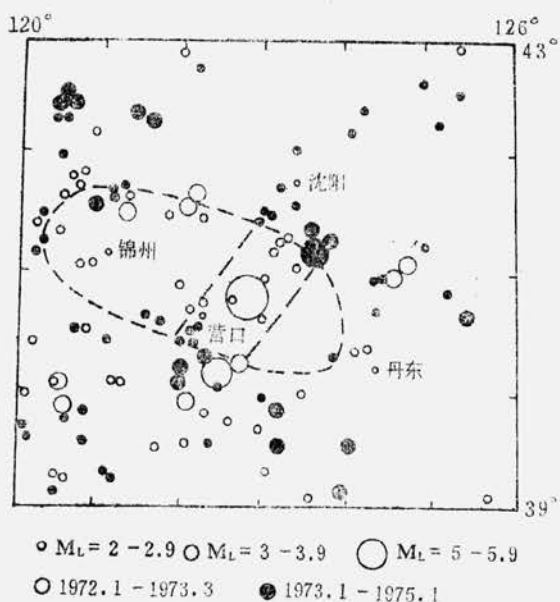


图4 海城7.3级地震前空区内条带活动

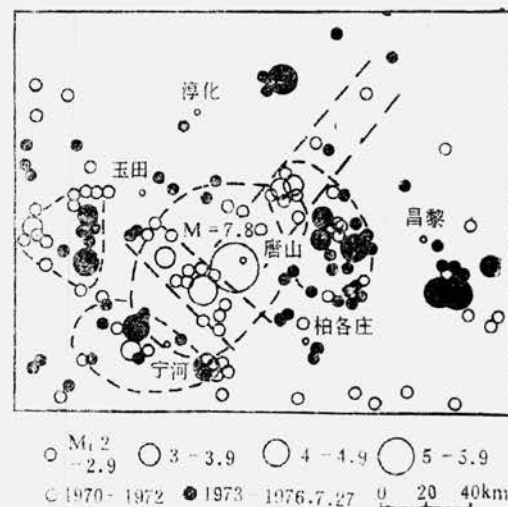


图5 唐山7.8级地震前空区内条带活动

这两个图分别表示了在大震前三年和六年内的活动图像。由图可见在未来震中区且垂直于发震构造方向上均出现了小震比较密集的条带，此条带分别在震前2年和3年趋于平静，这种图像典型地说明了断层凹凸区在孕震后期的变形和弱化，因此这种图像显然是大震的中

期预报指标。

以上是对大震前形成组合空区图像的初步认识。应当指出的是有些空区内部没有上述特征的中小地震活动，对于这种空区类型，一种可能是断层面上的凹凸区不够大，因此它相应震级应偏小。关于这个问题应当作更深入的研究方能给出更定量的结果。

二、孕震断层解锁指标

孕震断层的解锁表现在以下2个指标上。

1. 调整单元解锁指标

在大震前几年，首先在孕震断层端部调整单元出现明显的中强地震活动，这种活动为断层面上凹凸区的松动和解锁准备了条件。根据我国12次大震的统计，调整单元中强震开始加强活动至大震发生之间的时间间隔 Δt 与震级具有一定的相关性^[5]，其 Δt 与M之间的相关统计式为：

$$M = 6.5 + 1.3 \lg T, \quad (2)$$

应当指出的是孕震断层有两个调整单元，它们的加强活动时段不是同时出现的，此外活动的强度也不等。因此在临近大震前往往只有一个调整单元出现明显活动，此活动后在整个震源区出现平静状态（指无中强震活动）直至发震。

2. 断层面凹凸区解锁指标

在调整单元出现中强地震活动后震源端部的应力集中加强，并使断层面上凹凸区的变形进一步发展，在凸区会产生张性微裂缝并导致凸区弱化。显而易见它的弱化将致使孕震断层解锁。此外在凹凸区之间存在着较大的剪应力和剪应变，并形成剪应变较大的带，此带与孕震断层垂直。由于该带的存在，凸区弱化后可导致沿该带发生小震活动，如前面的海城和唐山大震空区内的垂直于发震断层的小震条带活动（图4和图5）。当震源区出现解锁时，凹凸区之间的剪应变较大时它还可影响岩石圈下层产生共轭型的长而直的剪切蠕滑线，然后再反馈到岩石圈上层诱发短期、长距震中迁移（中强震）形成较大范围共轭型地震条带活动。这就是断层面上凹凸区弱化引起的外围解锁指标。上述震源内外的共轭型地震活动条带虽然出现时间不同，但其位置方向是一致的，它们的交汇区即为未来大震的震中区。图6列出了12次大震前震源外围区共轭型地震活动图。由图可见，大多数大震前共轭型地震条带既与发震构造也与深部蠕滑线的剪切网络方向相近。因此这种共轭地震带是与震源孕震到最后这一过程有关的，同时当解锁线与深部蠕滑运动方向一致时，会更促进上述解锁作用。

3. 孕震断层面凹凸区解锁条带

震源内外共轭型地震活动条带的出现显然是与断层面上凹凸区弱化引起孕震断层面解锁有关。但各地区地震活动条带的形成方式和形成过程仍呈现不同的特点。这与各地震活动条带所处的具体环境有关，如浅部断层与深部剪切滑移线可以重合、正交或成一定交角，而与立交构造的夹角不同，其应力积累或释放速率也将不同。此外，各地区、各地质构造单元的差异，活动断层产生的扭曲体的剪切变形程度也各不相同，从而使各地震活动条带形成的解锁方式也不尽相同。因而在各地震活动条带的形成过程中是不同的，这样就会对判别大震前的解锁指标带来困难。根据立交模式的观点，只有当浅源大震前地震的解锁条带活动与深部的剪切滑移网络基本上比较接近或一致时，解锁条带的延伸才能实现。因此图6中所

- [3] 郭增建、秦保燕、陈家超, 新生代以来玄武岩喷发区与震中迁移始发点——兼论三层模式, 西北地震学报, 增刊, 1988.
- [4] 国家地震局, 中国地震前兆资料图集, 地震出版社, 1984.
- [5] 秦保燕, 大震前复杂震源系统的非线性阶段和大震预报(一), 西北地震学报, Vol. 8, No. 4, 1986.
- [6] 郭增建、秦保燕、徐文跃、汤泉, 地震孕育模式的初步讨论, 地球物理学报, Vol. 16, 1973.
- [7] 兰州地震大队, 用地震资料推断近期地震危险区, 1971年全国测震会议论文, 地震战线, No. 8, 1971.

**DISCUSSION ON LOCKING AND DISLOCKING INDICES
OF ACTIVE FAULTS AND PREDICTION OF
GREAT EARTHQUAKES IN CHINESE CONTINENT**

Qin Baoyan, Tan Aina, Bai Jianhua

(Earthquake Research Institute of Lanzhou, SSB, Gansu, China)

(上接第7页)

**DISCUSSION ON CAUSE AND PREDICTING INDICES OF LARGE
EARTHQUAKES ($M_s \geq 7.5$) IN CHINESE CONTINENT**

Qin Baoyan

(Earthquake Research Institute of Lanzhou, SSB, Gansu, China)